Необходимо отметить, что при максимальном G обеспечивается минимальный износ круга, достигается максимальная эффективность процесса резания, так как стоимость круга в стоимости одного реза составляет от 65–75 % [3].

Для получения максимальной эффективности резания (минимальной стоимости реза) небходимо поддерживать постоянную подачу круга, соотвествующую заданной ширине реза и постоянную скорость резания.

Для снижения стоимости оборудования в абразивно-отрезных станках в качестве электродвигателей главного привода на станке мод. 2B242 применяются асинхронные электродвигатели мощностью 22 кВт, которые имеют довольно большой коэффициент скольжения, т. е. снижение числа оборотов при резком возрастании нагрузки, что свойственно для абразивно-отрезных станков, где скорость подачи при резании велика и колеблется в зависимости от диаметра разрезаемой заготовки в пределах от 300 до 2000 мм/мин. При этом при максимальной нагрузке на электродвигатель уменьшается скорость резания и на 10-25%, в связи с чем процесс резания смещается в зону «интенсивного самозатачивания» (рис. 1), увеличивается нагрузка на зерно круга, что приводит к снижению коэффициета шлифования G с 1,8 до 1,65.

Для устранения этих недостатков был применен установленный на валу электродвигателя маховик в виде диска диаметром 500 мм, высотой 68 мм. Это увеличило момент инерции вращающихся валов главного привода на $I=0,34~\rm k\Gamma m\cdot c^2$, привело к стабилизации начальной скорости резания и подачи и позволило сохранить оптимальные режимы резания, оптимальный коэффициент шлифования G=1,8.

Таким образом, установка маховика с моментом инерции I = 0.34 кГм · c^2 на валу электродвигателя приводит к стабилизации процесса резания по скорости резания и подаче и увеличению коэффициента шлифования с 1,65 до 1,78.

Литература

- 1. Farmer, D. A. Economics Factors in Abrasive Machining, Tool and Manufacturing Engineer / D. A. Farmer, E. C. Shaw // Trans ASME. 1967. Vol. 59. P. 42.
- 2. Farmer, D. A. Economics Factors of the Abrasive Cut Off Operation / D. A. Farmer, E. C. Shaw // Trans ASME. 1967. Vol. B89. P. 514.
- 3. Старовойтов, Н. А. Анализ путей повышения эффективности абразивно-отрезных станков с качающейся шпиндельной бабкой / Н. А. Старовойтов, С. В. Рогов // Современные проблемы машиноведения :материалы XII Междунар. науч.-техн. конф. (науч. чтения, посвящ. П. О. Сухому), Гомель, 22–23 нояб. 2018 г. / М-во образования Респ. Беларусь, Гомел. гос. техн. ун-т им. П. О. Сухого, Фил. ПАО «Компания «Сухой» ОКБ «Сухого» ; под. общ. ред. А. А. Бойко. Гомель : ГГТУ им. П. О. Сухого, 2018. С. 37–39.
- 4. Старовойтов, Н. А. Экспериментальные исследования эффективности поддержания постоянной скорости резания при износе круга на абразивно-отрезных станках с качающейся шпиндельной бабкой / Н. А. Старовойтов // Вестн. БРУ. 2019. № 3. С. 84–92.

РЕШЕНИЕ ОБРАТНОЙ ЗАДАЧИ КИНЕМАТИКИ ШЕСТИЗВЕННОГО РОБОТА

А. А. Щученко

Учреждение образования «Гомельский государственный технический университет имени П. О. Сухого», Республика Беларусь

Научный руководитель М. И. Михайлов

Постановка задачи. Определить положение сочленения робота при известном положении схвата.

Исходные данные представлены в табл. 1.

Таблица 1

Исходные данные

Типы движении сочленения робота		
1. Вращательное	3. Поступательное	5. Поступательное
2. Вращательное	4. Вращательное	6. Качательное
7. Схват робота		

Порядок выполнения:

- 1. Строим схему робота.
- 2. Составляем матрицы и получаем уравнение центра схвата робота.

Постоянные параметры: $x_2 = 29$; $z_1 = 21$; $x_3 = 29$; $z_4 = 28$; $x_5 = 30$; $x_6 = 15$.

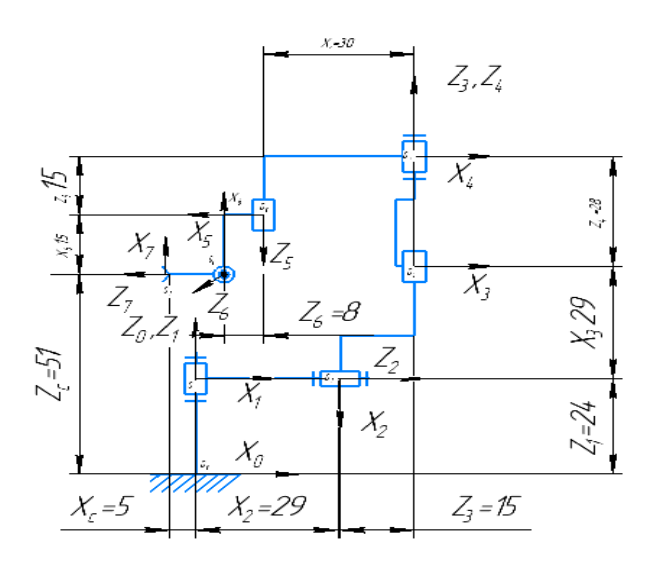


Рис. 1. Схема робота

3. Производим расчет.

$$A1x = \begin{pmatrix} 1 & 0 & 0 & x1 \\ 0 & 1 & 0 & 0 \\ 0 & 0 & 1 & 0 \\ 0 & 0 & 0 & 1 \end{pmatrix} A1z = \begin{pmatrix} 1 & 0 & 0 & 0 \\ 0 & 1 & 0 & 0 \\ 0 & 0 & 1 & 24 \\ 0 & 0 & 0 & 1 \end{pmatrix}$$

$$A12 = A1x \cdot A1z \rightarrow \begin{pmatrix} 1 & 0 & 0 & 0 \\ 0 & 1 & 0 & 0 \\ 0 & 0 & 1 & 24 \\ 0 & 0 & 0 & 1 \end{pmatrix}$$

И так далее для всех значений.

4. После выполнения всех расчетов получаем уравнения нахождения центра схвата робота:

$$x6 = A6_{0,3} \rightarrow 29 \cdot A23 + 45 \cdot A23 \cdot \cos(\gamma 4) \cdot \cos(\gamma 5) - 45 \cdot A23 \cdot \sin(\gamma 4) \cdot \sin(\gamma 5);$$

$$y6 = A6_{1,3} \rightarrow 45 \cdot A23 \cdot \cos(\gamma 5) \cdot \sin(\gamma 4) - 45 \cdot A23 \cdot \cos(\gamma 4) \cdot \sin(\gamma 5);$$

$$z6 = A6_{2,3} \rightarrow A23 \cdot \cos(\gamma 5) \cdot \sin(\gamma 4).$$

5. Назначаем неизвестные параметры:

$$z1 = q1 \rightarrow q1;$$

 $z3 = q2 \rightarrow q2;$
 $\gamma 2 = q3 \rightarrow q3.$

6. Производим дальнейшие расчеты:

И так далее для всех значений.

7. Задаем параметры первого этапа произвольно:

$$q1k1 = 20$$
; $q2k1 = 30$; $q4k1 = 180 \deg$;
 $q1k = 39$; $q2k = 16$; $q4k = 90 \deg$.

8. Производим дальнейший расчет.

$$Ax = 27 \cdot A12 \cdot \cos(\gamma 2) \cdot \cos(\gamma 5) - A12 \cdot z3 \cdot \sin(\gamma 2) + -67,7 \cdot A12 \sin(\gamma 2) +$$

$$+ -73,02 \cdot A12 \cdot \sin(\gamma 2) + -48,77 \cdot A12 \cdot \cos(\gamma 2) \cdot \sin(\gamma 5) + \left[0 \cdot (q1k - q1k1)\right] +$$

$$+ \left[0 \cdot (q2k - q2k1)\right] + \left[0 \cdot (q3k - q3k1)\right] + \left[0 \cdot (q4k - q4k1)\right].$$

И так далее для всех значений.

9. Находим положения сочлинений.

$$A = Find(q1k, q2k, q3k, q4k) = \begin{pmatrix} 39\\16\\1,571\\1,571 \end{pmatrix}.$$

Таким образом, по результатам выполненных расчетов мы определили неизвестные параметры звеньев робота при известных координатах центра схвата робота.